

## A8 VLIV TVARU ČÁSTICE NA USAZOVÁNÍ

V odd.10.4.2 jsou uvedeny převážně kvalitativní informace o vlivu tvaru částice na její usazování. Na tyto informace nyní navazujeme. Z našeho výzkumu [43] vyplynulo, že k vyjádření vlivu tvaru částice na usazování je vhodný dynamický tvarový faktor  $\phi_{Ar}$  definovaný rovnicí

$$\phi_{Ar} = (Ly/Ly_{\circ})^{1/3} = v_u/v_{uo} \quad [Ar = Ar_{\circ}] \quad (10-36)$$

kde index  $\circ$  označuje kulovou částici a kde Archimedovo a Ljaščenkovovo kritérium jsou definována vzorky

$$Ar \equiv \frac{f d_p^3 \rho_f \Delta \rho}{\eta^3} \quad (10-25)$$

$$Ly \equiv \frac{v_u^3 \rho_f^2}{f \eta \Delta \rho} \quad (10-28a)$$

V poli gravitační síly je hodnota měrné hmotnostní síly  $f = g$ .

V kap.10 byl popsán výpočet rychlosti usazování kulové částice  $v_{uo}$ . Rov.(10-36) dává návod, jak pomocí této rychlosti určíme rychlosť usazování nekulové částice  $v_u$ , známe-li hodnotu dynamického tvarového faktoru  $\phi_{Ar}$  dané částice:

$$v_u = \phi_{Ar} v_{uo} \quad [Ar = Ar_{\circ}] \quad (10-36c)$$

Podmínka  $Ar = Ar_{\circ}$  u rov.(10-36c) je splněna, dosadíme-li do rov.(10-25) za charakteristický rozměr částice  $d_p$  průměr ekvivalentní koule, tj. koule, jejíž objem  $V_p$  je stejný jako objem nekulové částice  $V_p$ :

$$d_p = (6 V_p / \pi)^{1/3} \quad [V_p = V_{po}] \quad (10-37)$$

Objem pravidelné nekulové částice je možno vypočítat, známe-li její rozměry, které však jsou u složitějších tvarů a malých částic obtížně zjistitelné. Pak použijeme, stejně jako u nepravidelných částic, metodu vážení. Vážením určitého počtu částic náhodně vybraných ze souboru zjistíme střední hmotnost jednotlivé částice  $m_p$ . Vedle toho stanovíme hustotu částice  $\rho_s$  (předpokládáme pevné částice). Potom

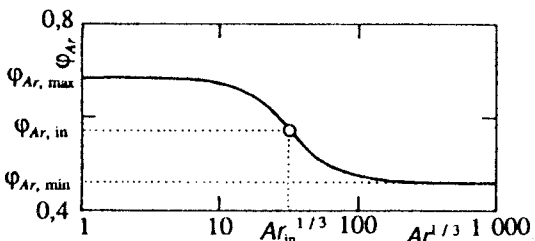
$$d_p = \left( \frac{6 m_p}{\pi \rho_s} \right)^{1/3} \quad [V_p = V_{po}] \quad (A8-1)$$

Na obr.10.17 je ukázána pro několik nekulových tvarů závislost tvarového faktoru  $\phi_{Ar}$

na  $Ar^{1/3}$ , odpovídající vztahu \*)

$$\varphi_{Ar} = \varphi_{Ar}(Ar^{1/3}; TVAR) \quad (10-38)$$

Parametr TVAR není v odd.10.4.2 kvantifikován. Z obr.10.17 je vidět, že křivky pro jednotlivé tvary častic mají podobný průběh. Na obr.A8.1 je zakreslen tento průběh pro jeden tvar častic s vyznačením inflexního bodu (in) a charakteristických hodnot  $\varphi_{Ar, max}$ ,  $\varphi_{Ar, min}$ ,  $\varphi_{Ar, in}$  a  $Ar_{in}^{1/3}$ . U osy  $Ar^{1/3}$  je užita logaritmická stupnice.



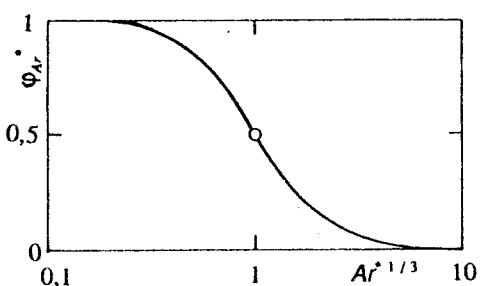
Obr.A8.1. Průběh závislosti dynamického tvarového faktoru  $\varphi_{Ar}$  na  $Ar^{1/3}$  pro jeden tvar s vyznačením charakteristických hodnot křivky

Charakteristické hodnoty (viz obr.A8.1) umožňují transformovat křivky pro různé tvary častic na stejný průběh. Transformace proměnných je zavedena těmito vzorcí:

$$\varphi_{Ar}^* \equiv \frac{\varphi_{Ar} - \varphi_{Ar, min}}{\varphi_{Ar, max} - \varphi_{Ar, min}} \quad \varphi_{Ar}^* \in \langle 1 ; 0 \rangle \quad (A8-2)$$

$$Ar^{*1/3} \equiv Ar^{1/3} / Ar_{in}^{1/3} \quad (A8-3)$$

Pro ilustraci je průběh křivky z obr.A8.1 uveden na obr.A8.2 v transformovaných souřadnicích ( $\varphi_{Ar}^*$ ,  $Ar^{*1/3}$ ). U osy  $Ar^{*1/3}$  je opět užita logaritmická stupnice.



Obr.A8.2. Průběh křivky z obr.A8.1 zakreslený v transformovaných souřadnicích ( $\varphi_{Ar}^*$ ,  $Ar^{*1/3}$ )

\*) Třetí odmocnina  $Ar$ , tj.  $Ar^{1/3}$ , je uplatněna proto, že je přímo úměrná průměru částice  $d_p$ :  $Ar^{1/3} \sim d_p$ .

Pomocí transformovaných proměnných  $\varphi_{Ar}^*$  a  $Ar^{*1/3}$  se podařilo zpracovat pokusné výsledky (viz lit. [43]) do univerzální závislosti \*).

$$\varphi_{Ar}^* = 0,5 [1 - \operatorname{tgh}(C \log Ar^{*1/3})] \quad (A8-4)$$

Geometrický tvar částice byl vyjádřen pomocí faktoru  $F$ . Tento faktor je dán poměrem největšího lineárního rozměru částice  $l_{p,\max}$  a průměru ekvivalentní koule  $d_p$ :

$$F \equiv l_{p,\max} / d_p \quad (A8-5)$$

Největší lineární rozměr  $l_{p,\max}$  má největší vliv na rychlosť usazování částice ve stabilizované poloze. Hodnota  $d_p$  se vypočte z rov.(A8-1). Geometrický tvarový faktor  $F$  tak vyjadřuje odchylku geometrického tvaru částice od koule, a představuje tedy kvantifikovaný parametr TVAR v rov.(10-38), který je možno uplatnit pro libovolnou částici.

Pomocí geometrického tvarového faktoru  $F$  byly vyjádřeny v lit. [43] jednotlivé veličiny potřebné pro výpočet dynamického tvarového faktoru  $\varphi_{Ar}$  z rov.(A8-4).

$$\varphi_{Ar,\max} = 0,948 F^{-0,480} \quad (A8-6)$$

$$\varphi_{Ar,\min} = 0,646 F^{-0,480} \quad (A8-7)$$

$$Ar_{in}^{1/3} = 57,6 F^{-0,760} \quad (A8-8)$$

$$C = 4,44 F^{-0,853} \quad (A8-9)$$

Z rov.(A8-2) určíme dynamický tvarový faktor  $\varphi_{Ar}$ :

$$\varphi_{Ar} = \varphi_{Ar}^* (\varphi_{Ar,\max} - \varphi_{Ar,\min}) + \varphi_{Ar,\min} \quad (A8-10)$$

Abychom mohli uskutečnit výpočet rychlosti usazování nekulové částice  $v_u$  pomocí rov.(10-36c), musíme napřed vypočítat Ljaščenkovo kritérium kulové částice  $Ly_o$  a potom rychlosť usazování kulové částice  $v_{uo}$ .

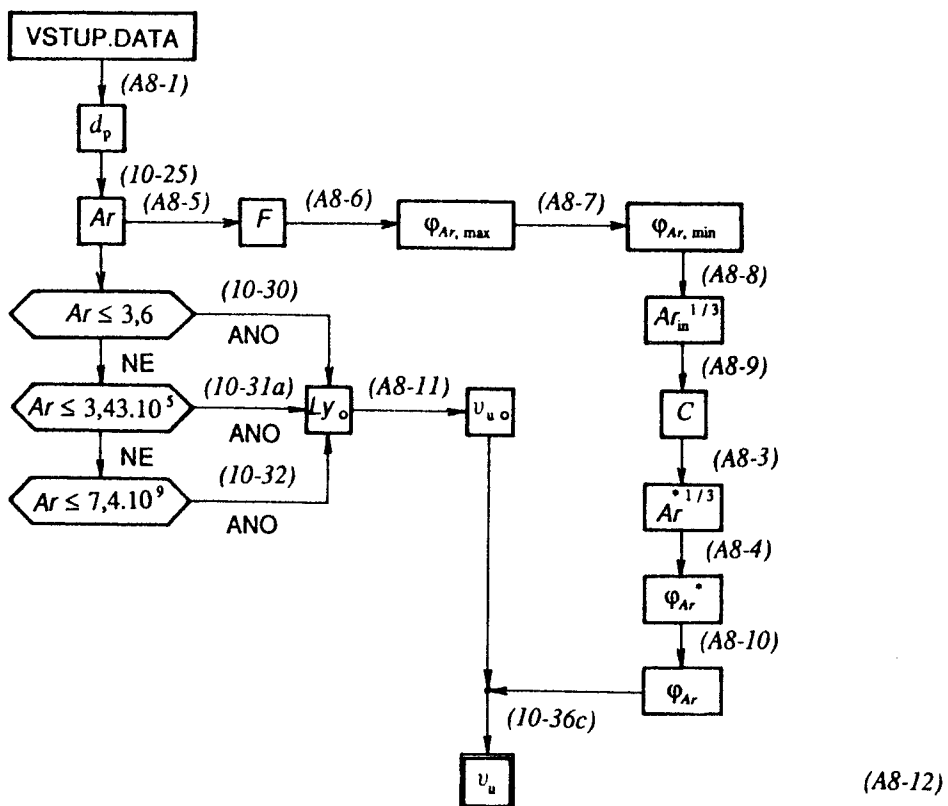
V kap.10 jsme uvedli řadu rovnic pro výpočet Ljaščenkova kritéria kulové izolované částice bez vlivu stěn (zde je pro kulovou částici užit symbol  $Ly_o$ ). Uplatnění těchto rovnic závisí na hodnotě Archimedova kritéria  $Ar$ , kterou musíme napřed vypočítat. Z vypočtené hodnoty  $Ly_o$  určíme rychlosť usazování kulové částice  $v_{uo}$  po úpravě rov.(10-28a):

$$v_{uo} = (Ly_o f \eta \Delta \rho / \rho_f^2)^{1/3} \quad (A8-11)$$

Z hodnot  $v_{uo}$  a  $\varphi_{Ar}$  pak pomocí rov.(10-36c) určíme rychlosť sedimentace nekulové částice  $v_u$

\* ) Připomínáme, že funkce  $\operatorname{tgh} x$  (tangens hyperbolicus) je dána vzorcem  $\operatorname{tgh} x \equiv \sinh x / \cosh x = (e^x - e^{-x}) / (e^x + e^{-x})$

Postup výpočtu je přehledně znázorněn algoritmem (A8-12):



Vstupními daty do algoritmu (A8-12) je naměřený maximální lineární rozměr nekulové částice  $l_{p, \max}$ , vážením zjištěná hmotnost jedné částice  $m_p$ , hustota částice  $\rho_s$ , hustota a viskozita tekutiny  $\rho_f$  a  $\eta$ . Pro rozlišení kulové a nekulové částice je Ljaščenkovo kritérium vypočtené z rov.(10-30), (10-31a) a (10-32) označeno  $Ly_0$ . Algoritmus (A8-12) je pro přehlednost poněkud zkrácen, neboť  $Ly_0$  pro  $Ar \leq 3,43 \cdot 10^5$  je třeba počítat iteračně, jak ukazuje algoritmus (10-32b).

## KONTROLNÍ ÚLOHY

- A8.1. V čem je hlavní rozdíl mezi dynamickým a geometrickým tvarovým faktorem?
- A8.2. Jakých hodnot může nabývat dynamický tvarový faktor  $\varphi_{Ar}$ ? Zdůvodněte.
- A8.3. Proč se odchylka tvaru částice od koule projevuje více při turbulentním proudění?